

徳島大学工業短期大学部 正員・村上仁士
岡山市 正員 鈴木一光

1. まえがき： 特定の港湾の応答振動特性を知るには、現地観測、模型実験および数値模型実験も有効な手法であるが、多くの費用がかかる。問題によればある港湾の固有周期および波高増幅度の概略値が知りたい場合があると思われる。ここでは、複雑な形状の港湾を単純な港湾内外の一様水深とつて長方形港湾にモデル化してその解と種々の観測結果とを比較することにより、その解の適合性を考察する。

2. 水底の形態が異なる長方形港湾の湾水振動特性：図-1に示すように、長方形港湾モデルとして、水底の形態を、①湾内外を通じて一様水深とする場合、②湾内の底勾配を考慮する場合、③湾口での水深が急変する場合の3種に分類する。図-2は、水底形態①～③に相当する理論による応答振動を比較した一例である。

なお、②については湾内の底勾配 $1/20$ 、③については湾内外の水深比 $1/10$ とかなり極端な場合を対象としている。ここでは示していないが、第1次共振点に対しても、湾の形状比 b/l 、防波堤の開口比 d/b 、入射波高、湾口水深など、其の影響について各水底形態ごとに比較を行った。その結果、湾内の底勾配および湾内外の水深比が大きくなるほど、共振時の増幅率および共振周期は若干大きくなる傾向がある。しかし、水底勾配および湾内外の水深比がかなり極端な場合を計算すれば、それより現地港湾を考えると水底形態の差異による振動特性の変化は小さいものと考えられる。

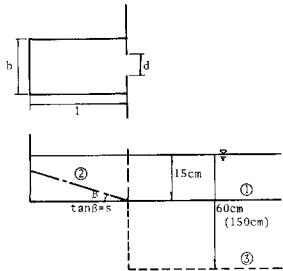


図-1 長方形港湾モデル

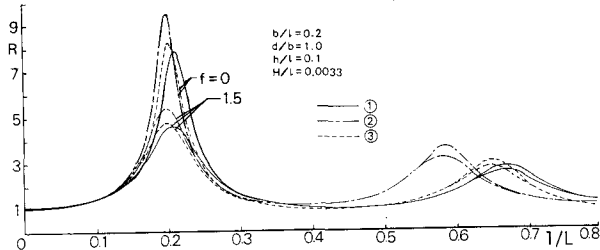


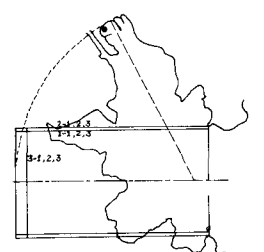
図-2 応答振動曲線

3. 現地港湾のモデル化と解の適用結果：表-1は、現地港湾に対する

表-1 港湾諸元の設定の種類

で、ここ取り扱う一様水深とつて長方形港湾モデルへ設定の種類と示したものである。(1) 釜石湾 — 図-3(1) 釜石湾をモデル化したことによると示している。岩崎の実験と比較するため、図に示す位置を湾口とした。表-2は、湾内外一様水深の理論と適用した結果を示すもので、入射波高 H 、水深 h 、通漸 f として与えられるエネルギー損失率 (η) で表わされる。参考までに $f=0$ の場合の同様の計算結果を()内に示している。ここでは入射波高 H を $1.86m$ と与えている。岩崎によれば、基本モードの固有周期は約20分、赤城川上流によれば、18~24分が得られている。この湾では水深の与え方によって特性が幾分変化するが、湾口最大水深をとらなければ観測結果を満足する。次に防波堤による場合、湾口外 $300m$ とした場合、平均湾幅と開口比 $d/b = 0.14$ 湾口幅を用いると $d/b = 0.13$ となる。この場合の結果を表-3に示す。岩崎の防波堤の設置によれば周期16~18.7分および20分の波は消え、周期10分の波は残ると論じている。これはおそらく2次モードの波であろうことが予測できる。

No.	港長 l	港幅 b	水深 h
1-1	1.5km から湾奥までの距離	平均湾幅(港内外面積を考慮したとき)	港内平均水深
1-2	.	.	港口平均水深
1-3	.	.	港口最大水深
2-1	.	港口幅	港内平均水深
2-2	.	.	港口平均水深
2-3	.	.	港口最大水深
3-1	釜石港の実測値(港内外面積と港口幅を割り出したとき)	.	港内平均水深
3-2	.	.	港口平均水深
3-3	.	.	港口最大水深



(2) 釜石湾 — 図-4(1) 釜石湾をモデル化したことによると示すを示し、表-4はその計

図-3 釜石湾のモデル化

算結果を示している。モデル化の手法によると、 λ 湾幅および湾長が著しく異なり、この種の湾では長方形にモデル化することにかなり無理がある。とくに湾幅の変化を考慮していくといふ理論では実際の現象が説明できない。岩崎によれば、この湾の固有周期は 15~16 分、赤堀らもそれ 15~16 分であるとしている。No.1-2 がややそれに近い値を示しているが、岩崎の模型実験、数値実験から得られた波高増幅率（周期 15 分と前者が 1.15 分、後者が 5.9）と比較すると $f=0$ の場合よりもその値はまだ小さすぎる。

(3) 築石・両石湾 — 図-5 に築石・両石の両湾を含む水域のモデルを、表-5 にその計算結果を示した。赤堀らは、築石湾内の泉、築石、白浜などの地点と対象として現地観測結果から、この点ともパワースペクトルのピークが 32 分のものとして発生していることを指摘している。これは築石湾の規模でさえ考えられず、両湾を含む水域の固有振動とみるのが妥当であろう。表をみれば、

No.1-1, No.2-1 が λ の値に近い。

4. あとがき： 総島県の那姫湾、上庄清水湾、大船渡湾についても、上記の手法を適用

して結果、湾幅の変化 図-4 両石湾のモデル化

が大きくなる場合に

港口から湾奥まで

の距離と湾長

とし、港口幅と

湾幅として与え、

湾内なら、いは灣

口の平均水深と

水深として取

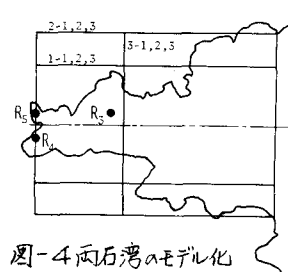


表-5 築石・両石湾の計算結果

No.	b/l	λ	(L/L) _R		共振周期(分)		波高増幅率	
			1st.	2nd.	1st.	2nd.	1st.	2nd.
1-1	0.86	0.020(0)	0.16(0.16)	- (-)	31.2(30.6)	- (-)	2.4(2.6)	- (-)
1-2	0.86	0.013(0)	0.16(0.16)	- (-)	24.7(24.2)	- (-)	2.5(2.6)	- (-)
1-3	0.86	0.011(0)	0.16(0.16)	- (-)	23.0(22.5)	- (-)	2.5(2.6)	- (-)
2-1	1.00	0.020(0)	0.15(0.15)	- (-)	32.9(32.2)	- (-)	2.3(2.4)	- (-)
2-2	1.00	0.013(0)	0.15(0.15)	- (-)	25.7(25.5)	- (-)	2.3(2.4)	- (-)
2-3	1.00	0.011(0)	0.15(0.15)	- (-)	24.0(23.7)	- (-)	2.3(2.4)	- (-)
3-1	1.17	0.020(0)	0.14(0.14)	- (-)	29.7(29.0)	- (-)	2.1(2.2)	- (-)
3-2	1.17	0.013(0)	0.14(0.14)	- (-)	23.2(23.0)	- (-)	2.1(2.2)	- (-)
3-3	1.17	0.011(0)	0.14(0.14)	- (-)	21.6(21.4)	- (-)	2.1(2.2)	- (-)

ば、ある程度妥当と思われる値が与えられる。しかしながら、現地の資料と比較すべき波高増幅率に関するデータが少ないために考察が不十分である点はいざめない。また、こういった手法はあくまでも港湾の応答振動特性の概略を知るためにものであり、いたずらに拡大して用いるのは妥当ではないことはずつともない。最後に本研究にあたり、貴重な文献を数多く提供していただいた東北大学岩崎敏次教授に謝意を表する。

参考文献 1) 村上仁士・野口英二：湾水運動における防波堤開口部の波のエネルギー損失について、第23回海講論文集、pp. 416~421、1976、2) 岩崎敏次：昭和48年度築石港湾調査（津波模型実験）報告書、1974、3) 岩崎敏次：昭和51年度津波と上調査報告書、1977、4) 赤堀雄三・川上俊雄：築石・両石湾の湾水運動特性、第23回海講論文集、pp. 422~427、1977。

表-2 築石湾の計算結果（防波堤なし）

No.	b/l	λ	(L/L) _R		共振周期(分)		波高増幅率	
			1st.	2nd.	1st.	2nd.	1st.	2nd.
1-1	0.54	0.045(0)	0.17(0.18)	0.61(0.61)	24.9(24.0)	7(7.0)	2.7(3.6)	1.4(1.4)
1-2	0.54	0.029(0)	0.17(0.18)	0.61(0.61)	19.9(19.4)	5.7(5.6)	2.9(3.6)	1.4(1.4)
1-3	0.54	0.019(0)	0.16(0.18)	0.61(0.61)	16.0(15.7)	4.6(4.6)	3.1(3.6)	1.4(1.4)
2-1	0.56	0.045(0)	0.17(0.18)	0.60(0.61)	25.1(24.2)	7.1(7.0)	2.7(3.5)	1.3(1.4)
2-2	0.56	0.029(0)	0.17(0.18)	0.61(0.61)	20.1(19.5)	5.7(5.7)	2.9(3.5)	1.3(1.4)
2-3	0.56	0.019(0)	0.17(0.18)	0.60(0.61)	16.1(15.8)	4.6(4.6)	3.0(3.5)	1.4(1.4)
3-1	0.59	0.045(0)	0.17(0.18)	0.59(0.60)	24.3(23.3)	6.9(6.7)	2.6(3.4)	1.3(1.3)
3-2	0.59	0.029(0)	0.17(0.18)	0.60(0.60)	19.3(18.8)	5.5(5.4)	2.8(3.4)	1.3(1.3)
3-3	0.59	0.019(0)	0.17(0.18)	0.60(0.60)	15.5(15.2)	4.4(4.4)	3.0(3.4)	1.3(1.3)

表-3 築石湾の計算結果（防波堤あり）

No.	b/l	λ	(L/L) _R		共振周期(分)		波高増幅率	
			1st.	2nd.	1st.	2nd.	1st.	2nd.
1-1	0.54	0.045(0)	0.06(0.13)	0.54(0.55)	70.8(32.0)	8(7.8)	1.2(5.9)	1.8(3.3)
1-2	0.54	0.029(0)	0.08(0.13)	0.54(0.55)	45.2(25.8)	6.4(6.0)	1.3(5.9)	2.0(3.3)
1-3	0.54	0.019(0)	0.09(0.13)	0.54(0.55)	30.8(20.9)	5.1(5.1)	1.4(5.9)	2.2(3.3)
2-1	0.56	0.045(0)	0.06(0.13)	0.53(0.55)	74.7(32.8)	8(7.8)	1.1(5.9)	1.8(3.3)
2-2	0.56	0.029(0)	0.07(0.13)	0.54(0.55)	47.1(26.4)	6.4(6.3)	1.2(5.9)	1.9(3.3)
2-3	0.56	0.019(0)	0.09(0.13)	0.54(0.55)	31.9(21.4)	5.2(5.1)	1.4(5.9)	2.2(3.3)
3-1	0.59	0.045(0)	0.06(0.13)	0.53(0.55)	71.1(32.0)	7.6(7.5)	1.1(5.7)	1.8(3.2)
3-2	0.59	0.029(0)	0.07(0.13)	0.54(0.55)	44.8(25.8)	6.1(6.0)	1.3(5.7)	2.0(3.2)
3-3	0.59	0.019(0)	0.09(0.13)	0.54(0.55)	30.4(20.9)	4.9(4.9)	1.4(5.7)	2.2(3.2)

表-4 両石湾の計算結果

No.	b/l	λ	(L/L) _R		共振周期(分)		波高増幅率	
			1st.	2nd.	1st.	2nd.	1st.	2nd.
1-1	0.50	0.045(0)	0.17(0.18)	0.61(0.62)	21.7(20.7)	6.1(6.1)	2.8(3.8)	1.4(1.5)
1-2	0.50	0.026(0)	0.18(0.18)	0.61(0.62)	16.4(15.9)	4.7(4.7)	3.1(3.8)	1.4(1.5)
1-3	0.50	0.018(0)	0.18(0.18)	0.62(0.62)	13.3(13.1)	3.9(3.8)	3.2(3.8)	1.4(1.5)
2-1	0.78	0.045(0)	0.16(0.16)	0.58(0.59)	24.1(23.2)	6.5(6.4)	2.4(2.8)	1.2(1.2)
2-2	0.78	0.026(0)	0.16(0.16)	0.59(0.59)	18.2(17.8)	4.9(4.9)	2.5(2.8)	1.2(1.2)
2-3	0.78	0.018(0)	0.16(0.16)	0.59(0.59)	14.9(14.6)	4.1(4.0)	2.6(2.8)	1.2(1.2)
3-1	1.22	0.045(0)	0.14(0.14)	- (-)	17.8(17.0)	- (-)	2.0(2.1)	- (-)
3-2	1.22	0.026(0)	0.14(0.14)	- (-)	13.5(13.0)	- (-)	2.0(2.1)	- (-)
3-3	1.22	0.018(0)	0.14(0.14)	- (-)	11.0(10.7)	- (-)	2.1(2.1)	- (-)

